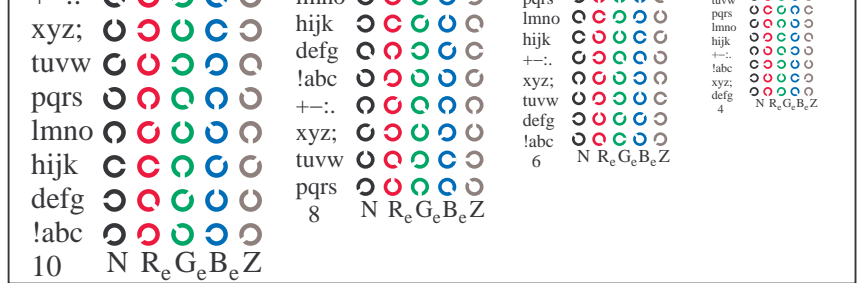


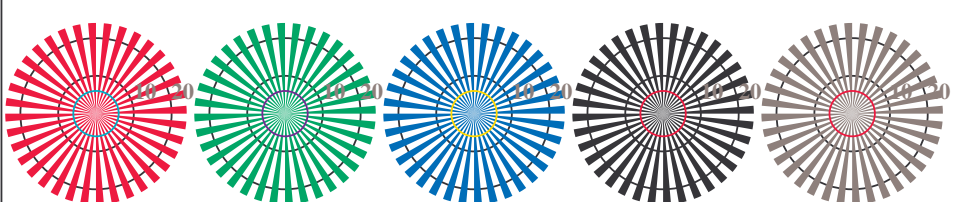
TF881-1, Fig. D4We: 16 paliers équidistants $W-R_e; W-G_e; W-B_e; W-N$; $rgb/cmy0 \rightarrow rgb_e$ setrgbcolor

+-.:	Q	O	C	Q	C	lmno	Q	O	C	Q	pqr&	Q	O	O	O	tuvw	O	O	O	O	
xyz;	O	O	O	O	O	hijk	O	O	O	O	lmno	O	O	O	O	pqrs	O	O	O	O	
tuvw	O	O	O	O	O	defg	O	O	O	O	hijk	O	O	O	O	hijk	O	O	O	O	
pqrs	O	O	O	O	O	!abc	O	O	O	O	+-.:	O	O	O	O	+-.:	O	O	O	O	
lmno	O	O	O	O	O	+-.	O	O	O	O	xyz;	O	O	O	O	xyz;	O	O	O	O	
hijk	C	O	O	O	O	tuvw	O	O	O	O	defg	O	O	O	O	defg	O	O	O	O	
defg	O	O	O	O	O	!abc	O	O	O	O	!abc	O	O	O	O	!abc	O	O	O	O	
!abc	O	O	O	O	O	10	N	R _e	G _e	B _e	Z	6	N	R _e	G _e	B _e	Z	N	R _e	G _e	B _e
												8	N	R _e	G _e	B _e	Z				

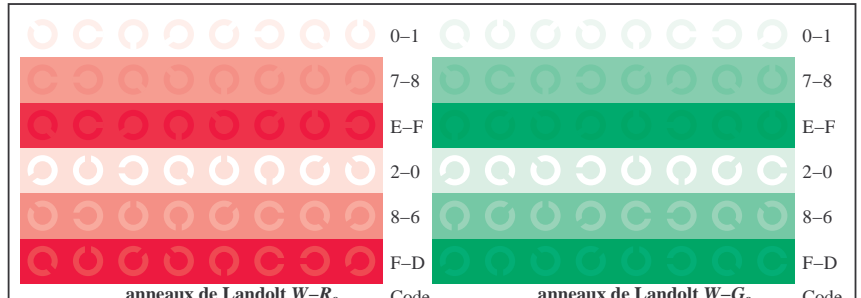
TF881-3, Fig. D5We: code et anneau de Landolt $N; R_e; G_e; B_e; Z$; PS opérateur: $rgb \rightarrow rgb_e$ setrgbcolor



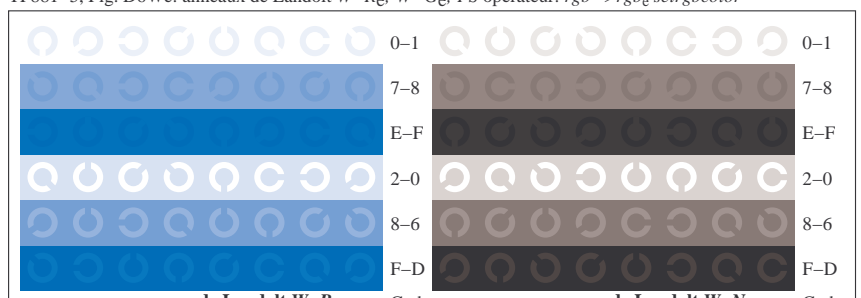
TF881-5, Fig. D2We: étoile de Siemens $W-R_e; W-G_e; W-B_e; W-N$; PS opérateur : $rgb \rightarrow rgb_e$ setrgbcolor



étoile Siemens $W-R_e$ étoile Siemens $W-G_e$ étoile Siemens $W-B_e$ étoile Siemens $W-N$ étoile Siemens $W-Z$



TF881-5, Fig. D6We: anneaux de Landolt $W-R_e; W-G_e$; PS opérateur: $rgb \rightarrow rgb_e$ setrgbcolor



TF880-7, Fig. D3We: 14 CIE test couleurs et 2 + 16 paliers de gris (sf); PS opérateur: $rgb/cmy0 \rightarrow rgb_e$ setrgbcolor

TF881-7, Fig. D7We: anneaux de Landolt $W-B_e; W-N$; PS opérateur: $rgb \rightarrow rgb_e$ setrgbcolor